

С ростом параметра  $\omega$  КПД увеличивается и достигает  $\eta=31\%$  при  $\omega=0.75\Gamma$ .

Таким образом, в работе показано, что при выполнении критерия перекрытия черенковских резонансов для отдельных частиц нелинейная динамика неустойчивости пучка становится хаотической.

## Список литературы

- [1] Заславский Г.М., Филоненко Н.Н. // ЖЭТФ. 1968. Т. 54. В. 5. С. 1590-1602.
- [2] Заславский Г.М. Стохастичность динамических систем. М.: Наука, 1984. 271 с.
- [3] Заславский Г.М., Чириков Б.В. // УФН. 1971. Т. 105. В. 1. С. 3-40.
- [4] Балакирев В.А., Буз В.А., Толстолужский А.П., Туркин Ю.А. // ЖЭТФ. 1983. Т. 84. В. 4. С. 1279-1289.
- [5] Исаев В.А., Фишер В.Л., Четвериков А.П. В сб.: Лекции по СВЧ и радиофизике (7-я зимняя школа-семинар инженеров, книга 2) Саратовский государственный университет, 1986. С. 3-11.
- [6] Matsiborko N.G., Onishenko I.N., Shapiro V.D., Shevchenko V.I. // Plasma Physics. 1972. V. 14. N 6. P. 591-600.

Харьковский  
физико-технический  
институт АН УССР

Поступило в Редакцию  
12 июня 1989 г.

Письма в ЖТФ, том 15, вып. 21

12 ноября 1989 г.

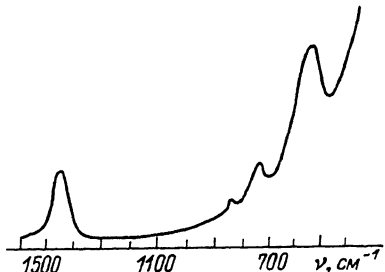
06.2

## ПЛЕНКИ АМОРФНОГО КАРБИДА КРЕМНИЯ НА ИНОРОДНЫХ ПОДЛОЖКАХ

Л.И. Бережинский, С.И. Власкина,  
М.П. Лисица, Г.И. Ляшенко,  
В.Е. Родионов

Сложная технология и высокая температура роста кристаллов карбида кремния ( $2500^{\circ}\text{C}$ ) являются существенным тормозом широкого практического использования этого материала, весьма перспективного для создания различных приборов отображения информации, приемников излучения, датчиков давления, СВЧ-транзисторов и др. В последние годы заметный прогресс отмечается в технологии получения кристаллических [1] и аморфных [2] слоев  $\text{SiC}$  большой площади, выращенных при более низких температурах на инородных подложках.

Рис. 1. Спектр комбинационного рассеяния пленки  $\alpha$ -SiC.



Им посвящено и настоящее сообщение, в котором приводятся сведения об аморфных пленках SiC, полученных на стекле, керамике, сапфире, кремнии, металле (алюминии, никеле, серебре).

Пленки выращивались методом плазмо-химического осаждения на

подложку продуктов разложения газообразного метилтрихлорсилина (МТХС) в поле высокочастотного (ВЧ) разряда. Подложка помещалась в вакуумную камеру на столик, подогреваемый до температуры 200 °С. Между столиком и одним из электродов ВЧ разряда прикладывался отрицательный потенциал  $U_{\text{cm}}$ . Перед осаждением пленки вся арматура вакуумной камеры и подложка травились в атмосфере водорода, который одновременно являлся газом-носителем, доставляющим МТХС в поле ВЧ разряда. Толщины полученных пленок оценивались по времени осаждения и составляли 1–1.5 мкм.

Исследования химического состава пленок, выполненные на Оже-спектрометре, показали, что они удовлетворяют стехиометрии SiC. Электронно-графические данные, а также спектры комбинационного рассеяния света (КРС), показали, что пленки являются аморфными. В спектрах КРС рис. 1 наблюдаются полосы, характерные для связей Si–Si ( $\nu = 511 \text{ cm}^{-1}$ ), Si–C ( $\nu = 715 \text{ cm}^{-1}$  и  $837 \text{ cm}^{-1}$ ), C–C ( $\nu = 1450 \text{ cm}^{-1}$ ) и отсутствуют полосы кристаллических колебаний, характерных для монокристаллов SiC  $\alpha$  или  $\beta$  модификации.

При возбуждении азотным лазером ЛГИ-21 ( $\lambda = 3371 \text{ \AA}$ ) и температуре 77 К наблюдается фотолюминесценция пленок, которая значительно ослабевает при повышении температуры до 300 К. Общий вид спектров некоторых образцов показан на рис. 2. Частотное положение и форма спектров соответствуют высокoenергетическому максимуму люминесценции аморфных пленок  $\text{Si}_x\text{C}_{1-x}$  при  $x=0.5$  [3], спектр которых состоит из двух широких перекрывающихся полос с максимумами вблизи 1.2 и 1.8 эВ. В отличие от результатов работы [3], в спектрах наших пленок наблюдаются максимумы при 0.63 мкм (1.97 эВ) и 0.58 мкм (2.14 эВ) независимо от материала подложки. Небольшое плечо при 0.53 мкм (2.34 эВ) наблюдается в спектрах пленок, выращенных на кремнии. Изменение потенциала  $U_{\text{cm}}$  в общем не оказывается существенно на спектрах, хотя для пленок на кремниевой подложке наблюдается перераспределение интенсивностей в максимумах.

Электрические параметры пленок определялись методами, основанными на теории инжекционно-контактных явлений в полупроводниках [4], в которой используется анализ тонкой структуры вольт-амперной характеристики (ВАХ) материала. Измерения выполнялись

Рис. 2. Фотолюминесценция пленок а-*SiC* при 77 К, полученных на керамике (1), алюминии (2), кремнии (3-5) при  $U_{CM}=0$  В (1, 2, 3);  $U_{CM}=-200$  В (4) и  $U_{CM}=-400$  В (5).

на автоматизированном тестере 14 ТКС-100, управляемым микро-ЭВМ „Электроника-60”.

По омическому участку ВАХ определены значения проводимости пленок, которая для изолирующей подложки составляла  $\frac{6}{e} = \mu \cdot n = 10^{12}-10^{14}$  (см.  
· с · В)<sup>-1</sup> ( $\mu$  – подвижность основных носителей,  $n$  – их концентрация) и не зависела от  $U_{CM}$ . В то же время для пленок, полученных на кремнии, такая зависимость наблюдалась. Так, при  $U_{CM}=-200$  В величина  $\mu \cdot n$  возрастала до  $3 \cdot 10^{17}$  (см.с.В)<sup>-1</sup>. Дальнейшее увеличение  $U_{CM}$  сопровождается падением  $\mu \cdot n$  до  $10^{11}-10^{12}$  (см.с.В)<sup>-1</sup>.

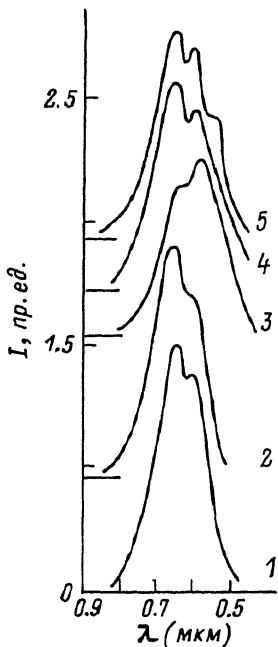
Все пленки независимо от подложки были высокоомными ( $10^6-10^8$  Ом · см) и имели проводимость  $n$ -типа.

Электрофизические параметры пленок а-*SiC*, выращенных на кремнии при  $U_{CM}=-200$  В, составляют:  $n \approx 1 \cdot 10^{15}$  см<sup>-3</sup> и  $\mu \approx 300$  см<sup>2</sup>/В · с (параметры определены с помощью метода Холла). Сравнивая эти параметры с характерными для монокристаллического  $\beta$ -*SiC* [5], можно сделать вывод о хорошем качестве пленок.

Таким образом, по люминесцентным свойствам и значениям электрофизических параметров полученные аморфные пленки карбида кремния являются вполне перспективным материалом для разработки приборов оптоэлектроники на их основе.

#### Список литературы

- [1] Бережинский Л.И., Власкина С.И., Родионов В.Е., Шамуратов Х.А. // Письма в ЖТФ. 1989. Т. 15. № 2. С. 44-47.
- [2] B u l l o t T., S c h m i d t M.P. // Phys. Stat. Solidi. 1987. V. 143. N 2. P. 345-418.
- [3] E n g e m a n n P., F i s c h e r R., K n e c h t Y. // Appl. Phys. Lett. 1978. V. 32. N 9. P. 567-568.



- [4] Зюганов А.Н., Свечников С.В. Ионно-контактные явления в полупроводниках. Киев. Наукова Думка, 1981. 220 С.
- [5] Saidov M.S., Shamugatov Kh.A., Kadyrov M.A., Vlaskina S.I. // Phys. Stat. Sol. 1986. V. A97. N 2. P. 347-351.

Институт полупроводников  
АН УССР, Киев

Поступило в Редакцию  
29 июня 1989 г.

Письма в ЖТФ, том 15, вып. 21

12 ноября 1989 г.

10; 11; 12

РЕГИСТРАЦИЯ КЛАСТЕРНЫХ ИОНОВ ВТОРИЧНО  
ЭЛЕКТРОННЫМ УМНОЖИТЕЛЕМ  
В МАСС-СПЕКТРОМЕТРИЧЕСКОМ ЭКСПЕРИМЕНТЕ

Л.Н. Галь, Н.В. Коснов, Л.Р. Локшин,  
А.В. Чуприков

Одним из экспериментальных методов, применяемых для исследования свойств кластеров и квазимолекулярных ионов биоорганических веществ, является масс-спектрометрический, получивший широкое применение. Для использования масс-спектрометрических данных в экспериментальной и теоретической практике необходимо исследовать различные дискриминационные эффекты, приводящие к неадекватности распределения интенсивности линий масс-спектра серий кластерных и квазимолекулярных ионов лабильных соединений их подлинному распределению в анализируемой пробе. В настоящей работе представлены результаты таких исследований при регистрации ионов вторичным электронным умножителем (ВЭУ). Измерения выполнены на масс-спектрометрической установке с источником ионов ЭРИ АД. [1-3]. В экспериментах использовались водно-метанольные растворы  $\text{NaCl}$  и аминокислот: аргинина Arg, глицина Gly и лизина Lys с концентрацией  $C=10^{-4}$  М. Регистрация ионов производилась поочередно на коллектор - цилиндр Фарадея ( $I_{\text{кол}}$ ) и на ВЭУ-2А ( $I_{\text{умн}}$ ) с динодами из  $\text{Al}_2\text{O}_3$  [4]. Коэффициент ионно-электронной эмиссии  $\gamma$  с первого динода умножителя при данной энергии падающего иона можно выразить как  $\gamma = \eta \beta^{n-1}$ , где  $\eta = I_{\text{умн}}/I_{\text{кол}}$  - коэффициент умножения умножителя, а  $\beta^{n-1}$  - коэффициент электронно-электронной эмиссии последующих  $n-1$  динодов умножителя при заданной в эксперименте разности потенциалов между динодами. Величина  $\eta$  для ионов  $N_2^+$  при энергии  $E_i = 6$  кэВ в эксперименте была  $1.35 \cdot 10^4$ , величина  $\gamma$  для  $N_2^+$  при этой энергии по данным [4] составляет  $0.41$  электрона/ион; отсюда  $\beta^{n-1} = 3.3 \cdot 10^4$ . Используя это значение  $\beta^{n-1}$ , из эксперимента было найдено значение  $\gamma_{H^+} = 0.46$  электрона/ион, что хорошо совпадает с данными [5] ( $\gamma_{H^+} = 0.45$  электрона/ион). Во всех экспериментах определение погрешности калибровки системы регистрации проводилось по вели-